

GPU/FPGA acceleration of inverse problems. Application to tomography reconstruction and radioastronomy

Nicolas GAC

Assistant professor at université Paris Saclay
Laboratoire des Signaux et Systèmes (L2S) - Groupe Problèmes Inverses (GPI)



Master SETI - C4

- 1 Adéquation Algorithme Architecture (A^3)
- 2 Calcul intensif sur GPU/FPGA
- 3 Calcul distribué sur serveur multiGPU
- 4 Dark-era project on radioastronomy

1 Adéquation Algorithme Architecture (A^3)

2 Calcul intensif sur GPU/FPGA

3 Calcul distribué sur serveur multiGPU

4 Dark-era project on radioastronomy

Adéquation Algorithme Architecture [*thème C du GDR ISIS*]

Meilleure **combinaison d'architectures et d'algorithmes**

sous **contraintes** de :

- temps de traitement
- précision de calcul
- consommation énergétique

Adéquation Algorithme Architecture [*thème C du GDR ISIS*]

Meilleure **combinaison d'architectures et d'algorithmes**

sous **contraintes** de :

- temps de traitement
- précision de calcul
- consommation énergétique
- coût du système de calcul
- temps de développement

Adéquation Algorithme Architecture [thème C du GDR ISIS]

Meilleure **combinaison d'architectures et d'algorithmes**

sous **contraintes** de :

- temps de traitement
- précision de calcul
- consommation énergétique
- coût du système de calcul
- temps de développement

Différentes approches A^3

- outils pour le TdSI (ex : Syndex, PREESM...)
- proche des capteurs (*smart sensors*)
- proche de l'application et des architectures

Adéquation Algorithme Architecture [thème C du GDR ISIS]

Meilleure **combinaison d'architectures et d'algorithmes**

sous **contraintes** de :

- temps de traitement
- précision de calcul
- consommation énergétique
- coût du système de calcul
- temps de développement

Différentes approches A^3

- outils pour le TdSI (ex : Syndex, PREESM...)
- proche des capteurs (*smart sensors*)
- **proche de l'application et des architectures**
 - contextes applicatifs **spécifiques avec contraintes fortes**
 - **solutions « sur mesure »** pour des performances optimales.

Adéquation Algorithme Architecture

Enjeux

- **Interaction humaine** la plus forte possible entre expertises :
 - applicative
 - algorithmique
 - matérielle
- Prise en compte des **évolutions technologiques**
- Difficile mais impérative **généralisation de la démarche A³**

Une méthodologie A^3 à échelle humaine

Faciliter le dialogue entre *algorithmiciens et architectes*

- vision synthétique **des algorithmes candidats**
- vision synthétique du **potentiel et des limitations des architectures**
- utilisation d'**outils simples** : analyse *off-line* des accès mémoire, *roofline model...*

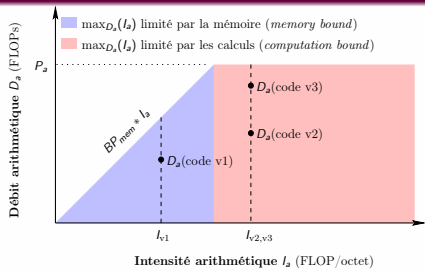
Une méthodologie A^3 à échelle humaine

Faciliter le dialogue entre *algorithmiciens et architectes*

- vision synthétique des algorithmes candidats
- vision synthétique du potentiel et des limitations des architectures
- utilisation d'outils simples : analyse *off-line* des accès mémoire, *roofline model...*

Roofline model

- Utilisation plus systématique
- Extension pour FPGA, tensor cores...



Périmètre applicatif

Problème inverse

Reconstruction à partir des mesures d'un instrument

Verrous

#1 Problèmes dit « mal posé »

#2 Problème en grande dimension

Périmètre applicatif

Problème inverse

Reconstruction à partir des mesures d'un instrument

Verrous

#1 Problèmes dit « mal posé »

#2 Problème en grande dimension

Méthodes analytiques

Modélisation souvent réductrice

 rapide  moins robuste

Périmètre applicatif

Problème inverse

Reconstruction à partir des mesures d'un instrument

Verrous

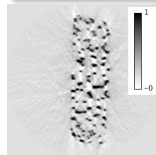
#1 Problèmes dit « mal posé »

#2 Problème en grande dimension

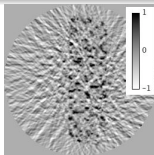
Méthodes analytiques

Modélisation souvent réductrice

😊 rapide 😟 moins robuste



FDK
(256/256 proj.)



FDK
(32/256 proj.)

Reconstructions d'une mousse métallique [C2011a]

Périmètre applicatif

Problème inverse

Reconstruction à partir des mesures d'un instrument

Verrous

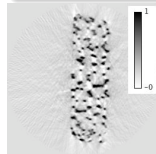
#1 Problèmes dit « mal posé »

#2 Problème en grande dimension

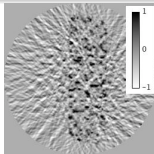
Méthodes analytiques

Modélisation souvent réductrice

 rapide  moins robuste



FDK
(256/256 proj.)

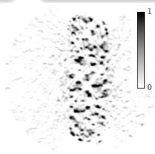


FDK
(32/256 proj.)

Méthodes itératives par optimisation d'un critère

Modélisation plus riche

 plus robuste  lent



Itératif
(32/256 proj.)

Reconstructions d'une mousse métallique [C2011a]

Larges champs d'exploration algorithmique

$$\mathbb{M}_D : \mathbf{g} = \mathbf{H}\mathbf{f} + \boldsymbol{\epsilon}$$

\mathbf{g} : mesures de l'instrument

\mathbf{H} : modèle d'acquisition

\mathbf{f} : objet à reconstruire

$\boldsymbol{\epsilon}$: incertitudes sur \mathbf{g} et \mathbf{H}

Larges champs d'exploration algorithmique

$$\mathbb{M}_D : \mathbf{g} = \mathbf{H}\mathbf{f} + \boldsymbol{\epsilon}$$

\mathbf{g} : mesures de l'instrument

\mathbf{H} : modèle d'acquisition

\mathbf{f} : objet à reconstruire

$\boldsymbol{\epsilon}$: incertitudes sur \mathbf{g} et \mathbf{H}

Approches bayésiennes

$$\text{Loi a posteriori : } p(\mathbf{f}|\mathbf{g}) = \frac{p(\mathbf{g}|\mathbf{f}; \mathbb{M}_D)p(\mathbf{f}; \mathbb{M}_f)}{p(\mathbf{g})}$$

- ① Choix de l'estimateur
- ② Choix du modèle de l'instrument \mathbf{H}
- ③ Choix du modèle des incertitudes $\boldsymbol{\epsilon}$
- ④ Choix du modèle de l'objet \mathbb{M}_f
- ⑤ Choix de l'algorithme d'optimisation

Larges champs d'exploration algorithmique

$$\mathbb{M}_D : \mathbf{g} = \mathbf{H}\mathbf{f} + \boldsymbol{\epsilon}$$

\mathbf{g} : mesures de l'instrument
 \mathbf{H} : modèle d'acquisition
 \mathbf{f} : objet à reconstruire
 $\boldsymbol{\epsilon}$: incertitudes sur \mathbf{g} et \mathbf{H}

Approches bayésiennes

$$\text{Loi a posteriori : } p(\mathbf{f}|\mathbf{g}) = \frac{p(\mathbf{g}|\mathbf{f}; \mathbb{M}_D)p(\mathbf{f}; \mathbb{M}_f)}{p(\mathbf{g})}$$

① Choix de l'estimateur

- MAP
- EAP

② Choix du modèle de l'instrument \mathbf{H}

③ Choix du modèle des incertitudes $\boldsymbol{\epsilon}$

④ Choix du modèle de l'objet \mathbb{M}_f

⑤ Choix de l'algorithme d'optimisation

Larges champs d'exploration algorithmique

$$\mathbb{M}_D : \mathbf{g} = \mathbf{H}\mathbf{f} + \boldsymbol{\epsilon}$$

\mathbf{g} : mesures de l'instrument

\mathbf{H} : modèle d'acquisition

\mathbf{f} : objet à reconstruire

$\boldsymbol{\epsilon}$: incertitudes sur \mathbf{g} et \mathbf{H}

Approches bayésiennes

$$\text{Loi a posteriori : } p(\mathbf{f}|\mathbf{g}) = \frac{p(\mathbf{g}|\mathbf{f}; \mathbb{M}_D)p(\mathbf{f}; \mathbb{M}_f)}{p(\mathbf{g})}$$

① Choix de l'estimateur

- MAP
- EAP

② Choix du modèle de l'instrument \mathbf{H}

③ Choix du modèle des incertitudes $\boldsymbol{\epsilon}$

④ Choix du modèle de l'objet \mathbb{M}_f

⑤ Choix de l'algorithme d'optimisation

Larges champs d'exploration algorithmique

$$\mathbb{M}_D : \mathbf{g} = \mathbf{H}\mathbf{f} + \boldsymbol{\epsilon}$$

\mathbf{g} : mesures de l'instrument
 \mathbf{H} : modèle d'acquisition
 \mathbf{f} : objet à reconstruire
 $\boldsymbol{\epsilon}$: incertitudes sur \mathbf{g} et \mathbf{H}

Approches bayésiennes

$$\text{Loi a posteriori : } p(\mathbf{f}|\mathbf{g}) = \frac{p(\mathbf{g}|\mathbf{f}; \mathbb{M}_D)p(\mathbf{f}; \mathbb{M}_f)}{p(\mathbf{g})}$$

① Choix de l'estimateur

- MAP
- EAP

② Choix du modèle de l'instrument H

③ Choix du modèle des incertitudes ϵ

- Lois normale, de student-t [C_{2017d}] ...
- Error splitting model [R_{2019b}]

④ Choix du modèle de l'objet \mathbb{M}_f

⑤ Choix de l'algorithme d'optimisation

Larges champs d'exploration algorithmique

$$\mathbb{M}_D : \mathbf{g} = \mathbf{H}\mathbf{f} + \boldsymbol{\epsilon}$$

\mathbf{g} : mesures de l'instrument
 \mathbf{H} : modèle d'acquisition
 \mathbf{f} : objet à reconstruire
 $\boldsymbol{\epsilon}$: incertitudes sur \mathbf{g} et \mathbf{H}

Approches bayésiennes

$$\text{Loi a posteriori : } p(\mathbf{f}|\mathbf{g}) = \frac{p(\mathbf{g}|\mathbf{f}; \mathbb{M}_D)p(\mathbf{f}; \mathbb{M}_f)}{p(\mathbf{g})}$$

① Choix de l'estimateur

- MAP
- EAP

② Choix du modèle de l'instrument \mathbf{H}

③ Choix du modèle des incertitudes $\boldsymbol{\epsilon}$

- Lois normale, de student-*t* [C_{2017d}] ...
- Error splitting model [R_{2019b}]

④ Choix du modèle de l'objet \mathbb{M}_f

⑤ Choix de l'algorithme d'optimisation

Larges champs d'exploration algorithmique

$$\mathbb{M}_D : \mathbf{g} = \mathbf{H}\mathbf{f} + \boldsymbol{\epsilon}$$

\mathbf{g} : mesures de l'instrument
 \mathbf{H} : modèle d'acquisition
 \mathbf{f} : objet à reconstruire
 $\boldsymbol{\epsilon}$: incertitudes sur \mathbf{g} et \mathbf{H}

Approches bayésiennes

$$\text{Loi a posteriori : } p(\mathbf{f}|\mathbf{g}) = \frac{p(\mathbf{g}|\mathbf{f}; \mathbb{M}_D)p(\mathbf{f}; \mathbb{M}_f)}{p(\mathbf{g})}$$

① Choix de l'estimateur

- MAP
- EAP

② Choix du modèle de l'instrument \mathbf{H}

③ Choix du modèle des incertitudes $\boldsymbol{\epsilon}$

- Lois normale, de student-t [C_{2017d}] ...
- Error splitting model [R_{2019b}]

④ Choix du modèle de l'objet \mathbb{M}_f

- Modèle de Gauss Markov Potts [R_{2017b}]
- Représentation par ondelettes [R_{2018b}]

⑤ Choix de l'algorithme d'optimisation

Larges champs d'exploration algorithmique

$$\mathbb{M}_D : \mathbf{g} = \mathbf{H}\mathbf{f} + \boldsymbol{\epsilon}$$

\mathbf{g} : mesures de l'instrument
 \mathbf{H} : modèle d'acquisition
 \mathbf{f} : objet à reconstruire
 $\boldsymbol{\epsilon}$: incertitudes sur \mathbf{g} et \mathbf{H}

Approches bayésiennes

$$\text{Loi a posteriori : } p(\mathbf{f}|\mathbf{g}) = \frac{p(\mathbf{g}|\mathbf{f}; \mathbb{M}_D)p(\mathbf{f}; \mathbb{M}_f)}{p(\mathbf{g})}$$

① Choix de l'estimateur

- MAP
- EAP

② Choix du modèle de l'instrument \mathbf{H}

③ Choix du modèle des incertitudes $\boldsymbol{\epsilon}$

- Lois normale, de student-t [C_{2017d}] ...
- Error splitting model [R_{2019b}]

④ Choix du modèle de l'objet \mathbb{M}_f

- Modèle de Gauss Markov Potts [R_{2017b}]
- Représentation par ondelettes [R_{2018b}]

⑤ Choix de l'algorithme d'optimisation

- Descente de gradient simple ou conjuguée
- ADMM, split Bergman...

Larges champs d'exploration algorithmique

$$\mathbb{M}_D : \mathbf{g} = \mathbf{H}\mathbf{f} + \boldsymbol{\epsilon}$$

\mathbf{g} : mesures de l'instrument
 \mathbf{H} : modèle d'acquisition
 \mathbf{f} : objet à reconstruire
 $\boldsymbol{\epsilon}$: incertitudes sur \mathbf{g} et \mathbf{H}

Moindre carré rég. quadratique

$$J(\mathbf{f}) = \|\mathbf{g} - \mathbf{H}\mathbf{f}\|^2 + \lambda \|\mathbf{D}\mathbf{f}\|^2$$

$$\mathbf{f}^{(n+1)} = \mathbf{f}^{(n)} - \alpha \nabla J(\mathbf{f}^{(n)})$$

Approches bayésiennes

Loi a posteriori : $p(\mathbf{f}|\mathbf{g}) = \frac{p(\mathbf{g}|\mathbf{f}; \mathbb{M}_D)p(\mathbf{f}; \mathbb{M}_f)}{p(\mathbf{g})}$

① Choix de l'estimateur

- MAP
- EAP

② Choix du modèle de l'instrument \mathbf{H}

③ Choix du modèle des incertitudes $\boldsymbol{\epsilon}$

- Lois normale, de student-t [C_{2017d}] ...
- Error splitting model [R_{2019b}]

④ Choix du modèle de l'objet \mathbb{M}_f

- Modèle de Gauss Markov Potts [R_{2017b}]
- Représentation par ondelettes [R_{2018b}]

⑤ Choix de l'algorithme d'optimisation

- Descente de gradient simple ou conjuguée
- ADMM, split Bergman...

Larges champs d'exploration algorithmique

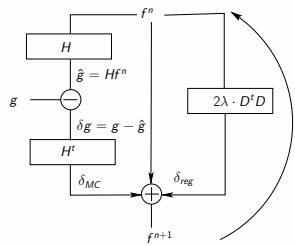
$$\mathbb{M}_D : \mathbf{g} = \mathbf{H}\mathbf{f} + \boldsymbol{\epsilon}$$

\mathbf{g} : mesures de l'instrument
 \mathbf{H} : modèle d'acquisition
 \mathbf{f} : objet à reconstruire
 $\boldsymbol{\epsilon}$: incertitudes sur \mathbf{g} et \mathbf{H}

Moindre carré rég. quadratique

$$J(\mathbf{f}) = \|\mathbf{g} - \mathbf{H}\mathbf{f}\|^2 + \lambda \|\mathbf{D}\mathbf{f}\|^2$$

$$\mathbf{f}^{(n+1)} = \mathbf{f}^{(n)} - \alpha \nabla J(\mathbf{f}^{(n)})$$



Approches bayésiennes

$$\text{Loi a posteriori : } p(\mathbf{f}|\mathbf{g}) = \frac{p(\mathbf{g}|\mathbf{f}; \mathbb{M}_D)p(\mathbf{f}; \mathbb{M}_f)}{p(\mathbf{g})}$$

① Choix de l'estimateur

- MAP
- EAP

② Choix du modèle de l'instrument H

③ Choix du modèle des incertitudes $\boldsymbol{\epsilon}$

- Lois normale, de student-t [C_{2017d}] ...
- Error splitting model [R_{2019b}]

④ Choix du modèle de l'objet \mathbb{M}_f

- Modèle de Gauss Markov Potts [R_{2017b}]
- Représentation par ondelettes [R_{2018b}]

⑤ Choix de l'algorithme d'optimisation

- Descente de gradient simple ou conjuguée
- ADMM, split Bergman...

Larges champs d'exploration algorithmique

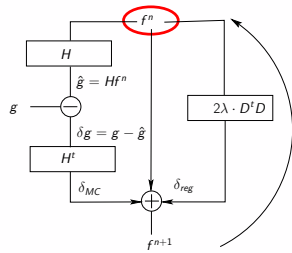
$$\mathbb{M}_D : \mathbf{g} = \mathbf{H}\mathbf{f} + \boldsymbol{\epsilon}$$

\mathbf{g} : mesures de l'instrument
 \mathbf{H} : modèle d'acquisition
 \mathbf{f} : objet à reconstruire
 $\boldsymbol{\epsilon}$: incertitudes sur \mathbf{g} et \mathbf{H}

Moindre carré rég. quadratique

$$J(\mathbf{f}) = \|\mathbf{g} - \mathbf{H}\mathbf{f}\|^2 + \lambda \|\mathbf{D}\mathbf{f}\|^2$$

$$\mathbf{f}^{(n+1)} = \mathbf{f}^{(n)} - \alpha \nabla J(\mathbf{f}^{(n)})$$



Approches bayésiennes

$$\text{Loi a posteriori : } p(\mathbf{f}|\mathbf{g}) = \frac{p(\mathbf{g}|\mathbf{f}; \mathbb{M}_D)p(\mathbf{f}; \mathbb{M}_f)}{p(\mathbf{g})}$$

① Choix de l'estimateur

- MAP
- EAP

② Choix du modèle de l'instrument H

③ Choix du modèle des incertitudes $\boldsymbol{\epsilon}$

- Lois normale, de student-t [C_{2017d}] ...
- Error splitting model [R_{2019b}]

④ Choix du modèle de l'objet \mathbb{M}_f

- Modèle de Gauss Markov Potts [R_{2017b}]
- Représentation par ondelettes [R_{2018b}]

⑤ Choix de l'algorithme d'optimisation

- Descente de gradient simple ou conjuguée
- ADMM, split Bergman...

Larges champs d'exploration algorithmique

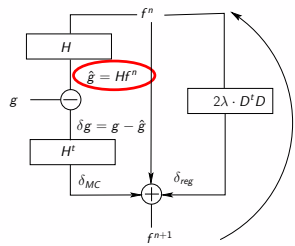
$$\mathbb{M}_D : \mathbf{g} = \mathbf{H}\mathbf{f} + \boldsymbol{\epsilon}$$

\mathbf{g} : mesures de l'instrument
 \mathbf{H} : modèle d'acquisition
 \mathbf{f} : objet à reconstruire
 $\boldsymbol{\epsilon}$: incertitudes sur \mathbf{g} et \mathbf{H}

Moindre carré rég. quadratique

$$J(\mathbf{f}) = \|\mathbf{g} - \mathbf{H}\mathbf{f}\|^2 + \lambda \|\mathbf{D}\mathbf{f}\|^2$$

$$\mathbf{f}^{(n+1)} = \mathbf{f}^{(n)} - \alpha \nabla J(\mathbf{f}^{(n)})$$



Approches bayésiennes

$$\text{Loi a posteriori : } p(\mathbf{f}|\mathbf{g}) = \frac{p(\mathbf{g}|\mathbf{f}; \mathbb{M}_D)p(\mathbf{f}; \mathbb{M}_f)}{p(\mathbf{g})}$$

① Choix de l'estimateur

- MAP
- EAP

② Choix du modèle de l'instrument \mathbf{H}

③ Choix du modèle des incertitudes $\boldsymbol{\epsilon}$

- Lois normale, de student-t [C_{2017d}] ...
- Error splitting model [R_{2019b}]

④ Choix du modèle de l'objet \mathbb{M}_f

- Modèle de Gauss Markov Potts [R_{2017b}]
- Représentation par ondelettes [R_{2018b}]

⑤ Choix de l'algorithme d'optimisation

- Descente de gradient simple ou conjuguée
- ADMM, split Bergman...

Larges champs d'exploration algorithmique

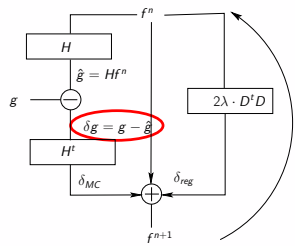
$$\mathbb{M}_D : \mathbf{g} = \mathbf{H}\mathbf{f} + \boldsymbol{\epsilon}$$

\mathbf{g} : mesures de l'instrument
 \mathbf{H} : modèle d'acquisition
 \mathbf{f} : objet à reconstruire
 $\boldsymbol{\epsilon}$: incertitudes sur \mathbf{g} et \mathbf{H}

Moindre carré rég. quadratique

$$J(\mathbf{f}) = \|\mathbf{g} - \mathbf{H}\mathbf{f}\|^2 + \lambda \|\mathbf{D}\mathbf{f}\|^2$$

$$\mathbf{f}^{(n+1)} = \mathbf{f}^{(n)} - \alpha \nabla J(\mathbf{f}^{(n)})$$



Approches bayésiennes

$$\text{Loi a posteriori : } p(\mathbf{f}|\mathbf{g}) = \frac{p(\mathbf{g}|\mathbf{f}; \mathbb{M}_D)p(\mathbf{f}; \mathbb{M}_f)}{p(\mathbf{g})}$$

① Choix de l'estimateur

- MAP
- EAP

② Choix du modèle de l'instrument \mathbf{H}

③ Choix du modèle des incertitudes $\boldsymbol{\epsilon}$

- Lois normale, de student-t [C_{2017d}] ...
- Error splitting model [R_{2019b}]

④ Choix du modèle de l'objet \mathbb{M}_f

- Modèle de Gauss Markov Potts [R_{2017b}]
- Représentation par ondelettes [R_{2018b}]

⑤ Choix de l'algorithme d'optimisation

- Descente de gradient simple ou conjuguée
- ADMM, split Bergman...

Larges champs d'exploration algorithmique

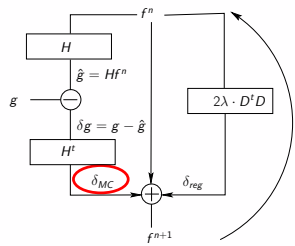
$$\mathbb{M}_D : \mathbf{g} = \mathbf{H}\mathbf{f} + \boldsymbol{\epsilon}$$

\mathbf{g} : mesures de l'instrument
 \mathbf{H} : modèle d'acquisition
 \mathbf{f} : objet à reconstruire
 $\boldsymbol{\epsilon}$: incertitudes sur \mathbf{g} et \mathbf{H}

Moindre carré rég. quadratique

$$J(\mathbf{f}) = \|\mathbf{g} - \mathbf{H}\mathbf{f}\|^2 + \lambda \|\mathbf{D}\mathbf{f}\|^2$$

$$\mathbf{f}^{(n+1)} = \mathbf{f}^{(n)} - \alpha \nabla J(\mathbf{f}^{(n)})$$



Approches bayésiennes

$$\text{Loi a posteriori : } p(\mathbf{f}|\mathbf{g}) = \frac{p(\mathbf{g}|\mathbf{f}; \mathbb{M}_D)p(\mathbf{f}; \mathbb{M}_f)}{p(\mathbf{g})}$$

① Choix de l'estimateur

- MAP
- EAP

② Choix du modèle de l'instrument H

③ Choix du modèle des incertitudes $\boldsymbol{\epsilon}$

- Lois normale, de student-t [C_{2017d}] ...
- Error splitting model [R_{2019b}]

④ Choix du modèle de l'objet \mathbb{M}_f

- Modèle de Gauss Markov Potts [R_{2017b}]
- Représentation par ondelettes [R_{2018b}]

⑤ Choix de l'algorithme d'optimisation

- Descente de gradient simple ou conjuguée
- ADMM, split Bergman...

Larges champs d'exploration algorithmique

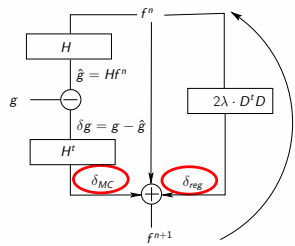
$$\mathbb{M}_D : \mathbf{g} = \mathbf{H}\mathbf{f} + \boldsymbol{\epsilon}$$

\mathbf{g} : mesures de l'instrument
 \mathbf{H} : modèle d'acquisition
 \mathbf{f} : objet à reconstruire
 $\boldsymbol{\epsilon}$: incertitudes sur \mathbf{g} et \mathbf{H}

Moindre carré rég. quadratique

$$J(\mathbf{f}) = \|\mathbf{g} - \mathbf{H}\mathbf{f}\|^2 + \lambda \|\mathbf{D}\mathbf{f}\|^2$$

$$\mathbf{f}^{(n+1)} = \mathbf{f}^{(n)} - \alpha \nabla J(\mathbf{f}^{(n)})$$



Approches bayésiennes

$$\text{Loi a posteriori : } p(\mathbf{f}|\mathbf{g}) = \frac{p(\mathbf{g}|\mathbf{f}; \mathbb{M}_D)p(\mathbf{f}; \mathbb{M}_f)}{p(\mathbf{g})}$$

① Choix de l'estimateur

- MAP
- EAP

② Choix du modèle de l'instrument \mathbf{H}

③ Choix du modèle des incertitudes $\boldsymbol{\epsilon}$

- Lois normale, de student-t [C_{2017d}] ...
- Error splitting model [R_{2019b}]

④ Choix du modèle de l'objet \mathbb{M}_f

- Modèle de Gauss Markov Potts [R_{2017b}]
- Représentation par ondelettes [R_{2018b}]

⑤ Choix de l'algorithme d'optimisation

- Descente de gradient simple ou conjuguée
- ADMM, split Bergman...

Larges champs d'exploration algorithmique

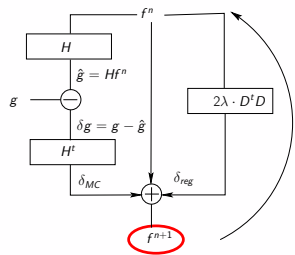
$$\mathbb{M}_D : \mathbf{g} = \mathbf{H}\mathbf{f} + \boldsymbol{\epsilon}$$

\mathbf{g} : mesures de l'instrument
 \mathbf{H} : modèle d'acquisition
 \mathbf{f} : objet à reconstruire
 $\boldsymbol{\epsilon}$: incertitudes sur \mathbf{g} et \mathbf{H}

Moindre carré rég. quadratique

$$J(\mathbf{f}) = \|\mathbf{g} - \mathbf{H}\mathbf{f}\|^2 + \lambda \|\mathbf{D}\mathbf{f}\|^2$$

$$\mathbf{f}^{(n+1)} = \mathbf{f}^{(n)} - \alpha \nabla J(\mathbf{f}^{(n)})$$



Approches bayésiennes

$$\text{Loi a posteriori : } p(\mathbf{f}|\mathbf{g}) = \frac{p(\mathbf{g}|\mathbf{f}; \mathbb{M}_D)p(\mathbf{f}; \mathbb{M}_f)}{p(\mathbf{g})}$$

① Choix de l'estimateur

- MAP
- EAP

② Choix du modèle de l'instrument \mathbf{H}

③ Choix du modèle des incertitudes $\boldsymbol{\epsilon}$

- Lois normale, de student-t [C_{2017d}] ...
- Error splitting model [R_{2019b}]

④ Choix du modèle de l'objet \mathbb{M}_f

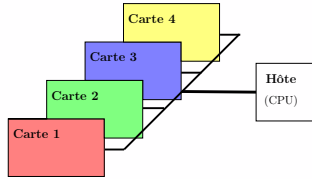
- Modèle de Gauss Markov Potts [R_{2017b}]
- Représentation par ondelettes [R_{2018b}]

⑤ Choix de l'algorithme d'optimisation

- Descente de gradient simple ou conjuguée
- ADMM, split Bergman...

Architectures de calcul étudiées

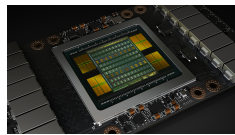
Plateforme de calcul avec cartes accélératrices



(a) plateforme de calcul



(b) carte PCIe



(c) puce de calcul

Puces accélératrices de calcul

- **GPU** : processeur massivement parallèle
- **FPGA** : conception d'une architecture sur mesure

⇒ *Adaptées aux systèmes embarqués, PC ou supercalculateur HPC*

Larges champs d'exploration architecturale

GPU : algorithmes massivement parallèles

- **Parallélisation**

#1 à grains fins sur les [100 - 5000] coeurs de calcul

#2 à grains épais sur les [1-16] cartes accélératrices

- **Murs mémoire pour l'accès aux données**

#1 coeurs de calcul \leftrightarrow mémoire DDR [1 - 32] Go

#2 cartes accélératrices \leftrightarrow mémoire hôte [0.1 - 1] To

- **Boîte à outils d'accélération** (texture 2D/3D, tensor cores, *half float...*)

Larges champs d'exploration architecturale

GPU : algorithmes massivement parallèles

- **Parallélisation**

#1 à grains fins sur les [100 - 5000] coeurs de calcul

#2 à grains épais sur les [1-16] cartes accélératrices

- **Murs mémoire pour l'accès aux données**

#1 coeurs de calcul \leftrightarrow mémoire DDR [1 - 32] Go

#2 cartes accélératrices \leftrightarrow mémoire hôte [0.1 - 1] To

- **Boîte à outils d'accélération** (texture 2D/3D, tensor cores, *half float...*)

FPGA : outils de synthèse de haut niveau (HLS)

- **Architecture alternative au GPU**

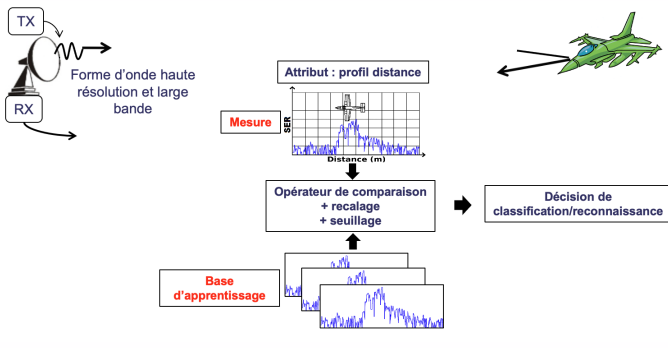
#1 Architecture basse consommation

#2 Parallélisme de pipeline

- **Guide/méthodologie d'utilisation des outils HLS**

Reconnaissance radar

2010-13

Thomas Boulay - CIFRE avec Thales Air Systems*Classification de signatures radars accélérée sur GPUs*

Imagerie acoustique

2010-13

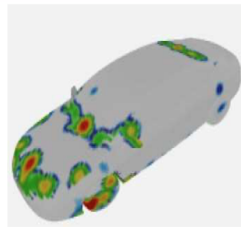
Ning Chu

Reconnaissance radar

2010-13 Thomas Boulay

Imagerie acoustique

2010-13 Ning Chu - *Bourse China Scholarship Council*
Approches bayésiennes pour la localisation de sources acoustiques



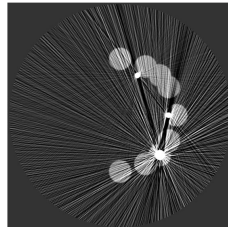
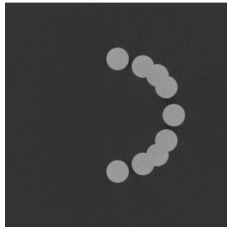
[R_{2014a}, C_{2014b}]

Reconstruction tomographique en imagerie à rayons X

2011-14

Long Chen - *CIFRE avec Carestream Dental*

Réduction d'artefacts métalliques pour l'imagerie dentaire



2014-17

Li Wang

2016-19

Camille Chapdelaine

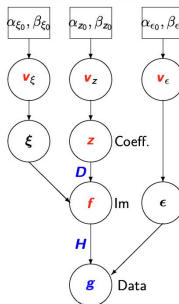
[C_{2013d}, C_{2014d}]

Reconstruction tomographique en imagerie à rayons X

2011-14 Long Chen

2014-17 Li Wang - *Bourse China Scholarship Council*

Approches bayésiennes hiérarchiques pour la reconstruction



[R_{2017a}, R_{2018b}]

2016-19 Camille Chapdelaine

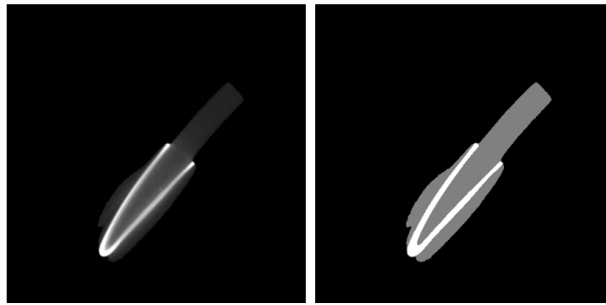
Reconstruction tomographique en imagerie à rayons X

2011-14 Long Chen

2014-17 Li Wang

2016-19 **Camille Chapdelaine** - *CIFRE avec SAFRAN*

Contrôle Non Destructif (CND) de pièces aéronautiques



[R_{2017b}, R_{2019b}]

Parallélisation GPU

2018-21

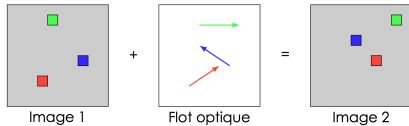
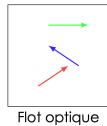
Mickael Seznec - CIFRE avec Thales TRT*Démarche A^3 pour le calcul haute performance embarqué*

Image 1

+



Flot optique

=

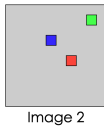


Image 2

*carte GPU
pour système embarqué*[C_{2018b}, C_{2020b}]

2019-22

Nicolas Monnier

Synthèse de haut niveau sur FPGA

2016-19

Maxime Martelli

2019-22

Daouda Diakite

Parallélisation GPU

2018-21 Mickael Seznec

2019-22 **Nicolas Monnier** - *Bourse Région IdF + coll. Atos Bull*

ExaSKA : Parallélisation d'algorithmes TdSI en radioastronomie



*carte GPU
pour système HPC*

Synthèse de haut niveau sur FPGA

2016-19 Maxime Martelli

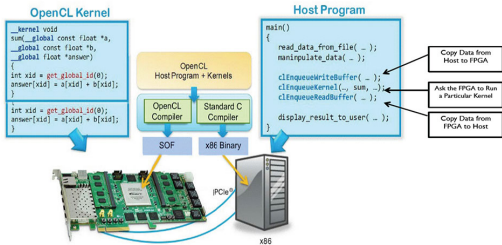
2019-22 Daouda Diakite

Parallélisation GPU

2018-21 Mickael Seznec
 2019-22 Nicolas Monnier

Synthèse de haut niveau sur FPGA

2016-19 **Maxime Martelli** - CIFRE avec Thales DMS
Approche haut niveau pour l'accélération de la simulation radar



[R_{2018a}]

2019-22 Daouda Diakite

Parallélisation GPU

2018-21 Mickael Seznec

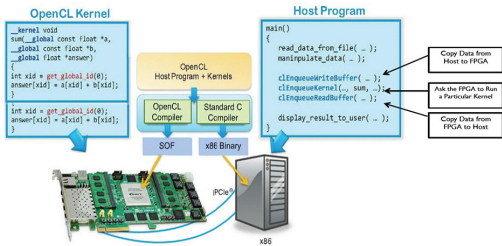
2019-22 Nicolas Monnier

Synthèse de haut niveau sur FPGA

2016-19 Maxime Martelli

2019-22 **Daouda Diakite - Bourse ED STIC**

Démarche A^3 appliquée à la tomographie et à la radioastronomie

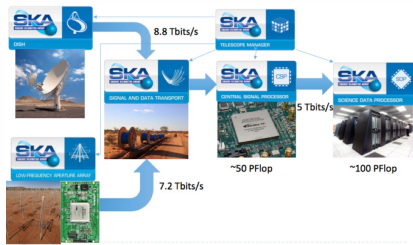
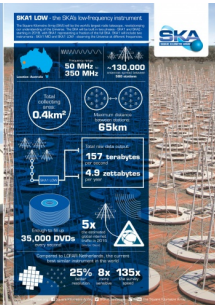
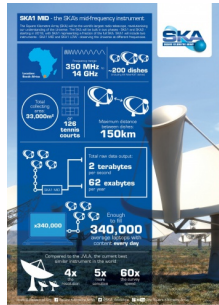


[C_{2020a}]

Projets collaboratifs

Radiotélescope SKA

- Pipeline de formation des images hyperspectrales



- | | |
|---|---|
| 2015-...
2018-19
2021-25 | Lagrange (A. Ferrari) - ANR Magellan puis DeconvSKA
IETR/Lagrange/Obs Paris/Atos Bull - PEPS SKALLAS (porteur)
IETR/Lagrange/Obs Nançay/IRISA - ANR DARK-ERA (porteur) |
|---|---|

Projets collaboratifs

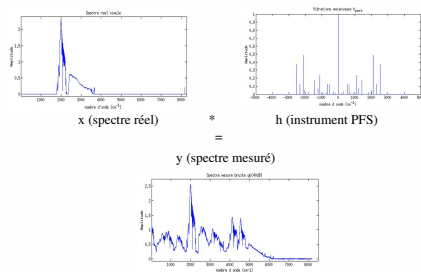
Traitements de données spectrales

- Correction de vibrations mécaniques par déconvolution 1D

2010-13 GEOPS (F. Schmidt)



Instrument PFS (Planetary Fourier Spectrum)



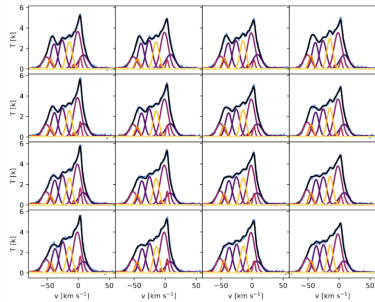
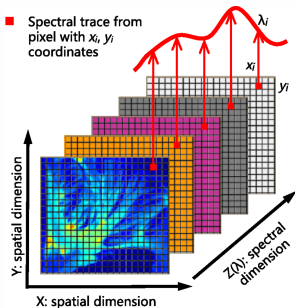
[R_{2014b}]

- Démélange de gaz interstellaires

Projets collaboratifs

Traitements de données spectrales

- Correction de vibrations mécaniques par déconvolution 1D
- Démélange de gaz interstellaires



- 2017-18 CEA-Irfu/LIP6 - CNRS HyperStars (M.A. Miville-Deschénes)
 2018-21 Parcours recherche de J. Besson
 Méthode ROHSA [R_{2019a}] parallélisée sur GPU

1 Adéquation Algorithme Architecture (A^3)

2 Calcul intensif sur GPU/FPGA

3 Calcul distribué sur serveur multiGPU

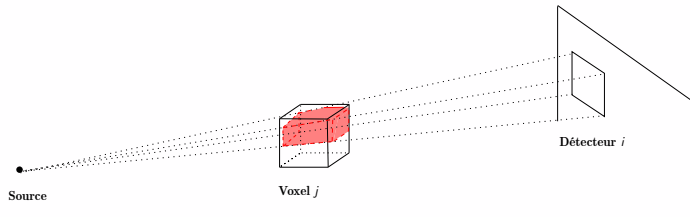
4 Dark-era project on radioastronomy

Opérateurs \mathcal{P} de projection et \mathcal{R} de rétroprojection

Algorithme itératif

$$\mathbf{f}^{(n+1)} = \mathbf{f}^{(n)} + \alpha \mathbf{H}^t (\mathbf{g} - \mathbf{H}\mathbf{f}) + \dots$$

H_{ij} : contribution du voxel j dans le détecteur i



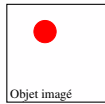
\mathbf{H} de grande dimension

\mathbf{f} de taille $2048^3 \Rightarrow \mathbf{H}$ de taille 256 Exa octets

\Rightarrow Calcul de \mathbf{H} et de \mathbf{H}^t par une paire \mathcal{P}/\mathcal{R}

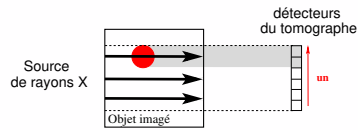
\mathcal{P}/\mathcal{R} : boucles naturelles de parallélisation

Opérateur de projection \mathcal{P}



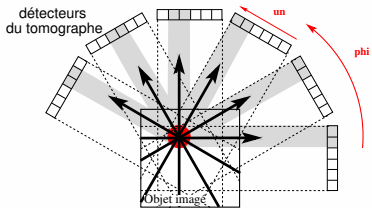
\mathcal{P}/\mathcal{R} : boucles naturelles de parallélisation

Opérateur de projection \mathcal{P}



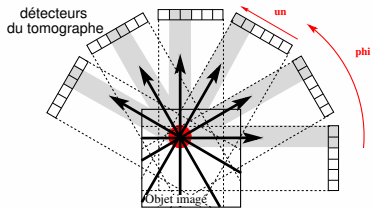
\mathcal{P}/\mathcal{R} : boucles naturelles de parallélisation

Opérateur de projection \mathcal{P}



\mathcal{P}/\mathcal{R} : boucles naturelles de parallélisation

Opérateur de projection \mathcal{P}



```
for un, phi do
```

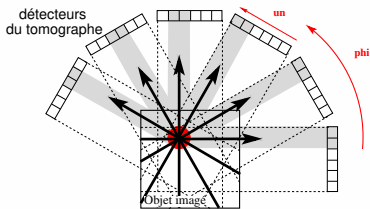
```
...
```

```
     $\mathcal{P}(un, phi) = ...$ 
```

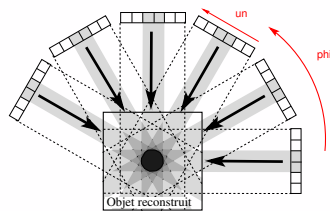
```
end for
```

\mathcal{P}/\mathcal{R} : boucles naturelles de parallélisation

Opérateur de projection \mathcal{P}



Opérateur de rétrorprojection \mathcal{R}



```
for un, phi do
```

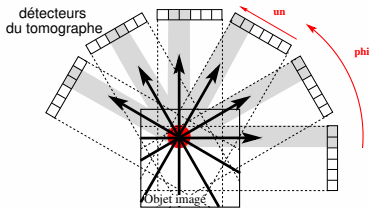
```
...
```

```
     $\mathcal{P}(un, phi) = ...$ 
```

```
end for
```

\mathcal{P}/\mathcal{R} : boucles naturelles de parallélisation

Opérateur de projection \mathcal{P}



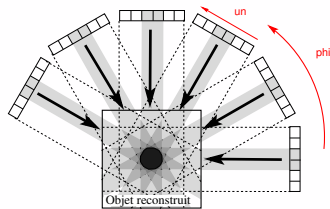
```
for un, phi do
```

...

$\mathcal{P}(un, phi) = \dots$

```
end for
```

Opérateur de rétroréprojection \mathcal{R}

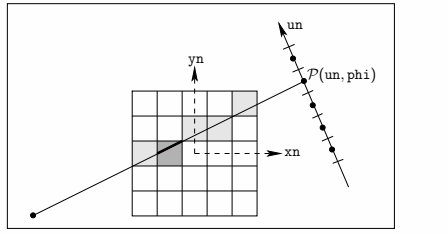


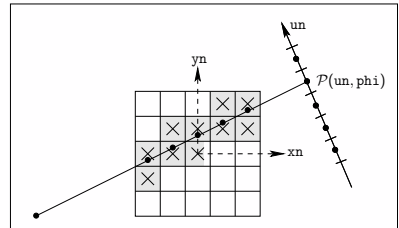
```
for xn, yn do
```

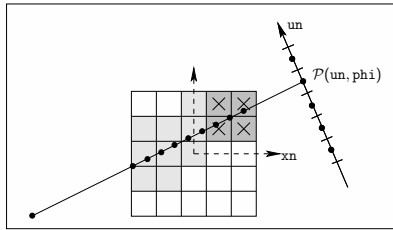
...

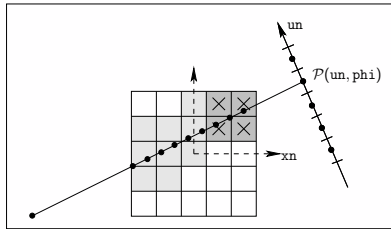
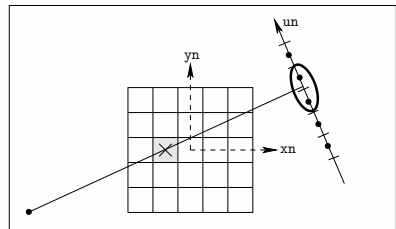
$\mathcal{R}(xn, yn) = \dots$

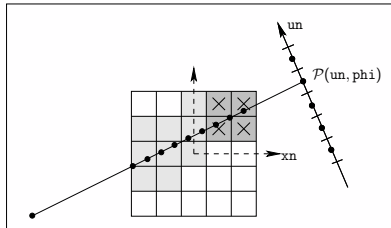
```
end for
```

Modèle *ray-driven* \mathcal{P}_{Siddon} 

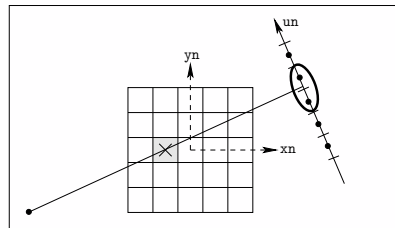
Modèle *ray-driven* \mathcal{P}_{Joseph} 

Modèle *ray-driven* $\mathcal{P}_{Regular}$ 

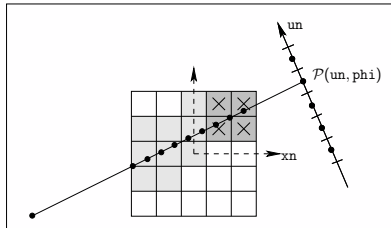
Modèle *ray-driven* $\mathcal{P}_{Regular}$ Modèle *Voxel-Driven* \mathcal{R}_{VDL} 

Modèle *ray-driven* $\mathcal{P}_{Regular}$ 

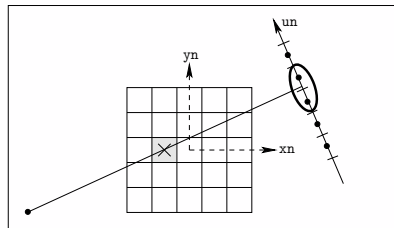
$$\mathcal{P}(\mathbf{f}) = \mathbf{H}_{\mathcal{P}} \mathbf{f}$$

Modèle *Voxel-Driven* \mathcal{R}_{VDL} 

$$\mathcal{R}(\mathbf{g}) = \mathbf{H}_{\mathcal{R}}^t \mathbf{g}$$

Modèle *ray-driven* $\mathcal{P}_{Regular}$ 

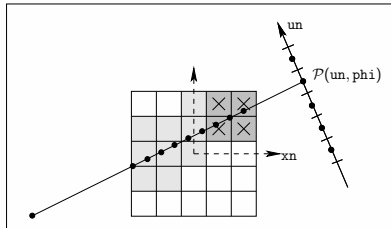
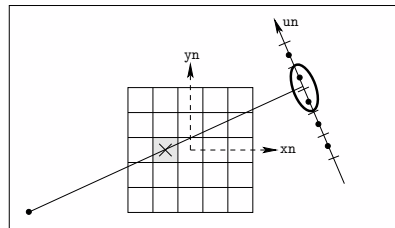
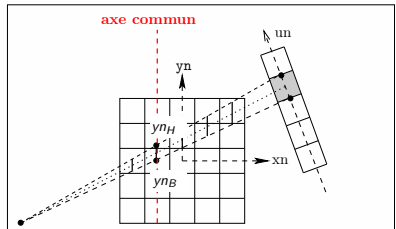
$$\mathcal{P}(\mathbf{f}) = \mathbf{H}_{\mathcal{P}} \mathbf{f}$$

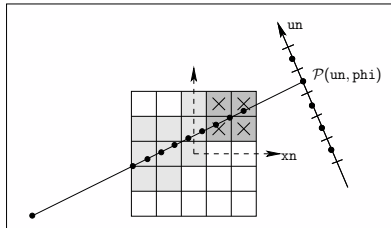
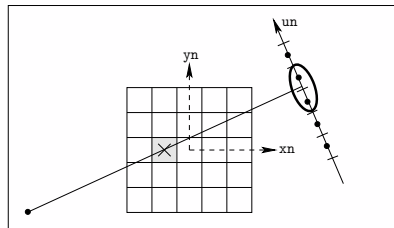
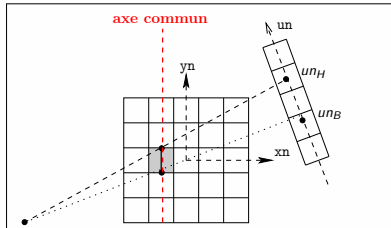
Modèle *Voxel-Driven* \mathcal{R}_{VDL} 

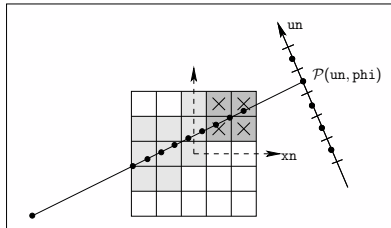
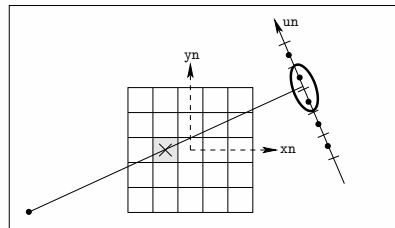
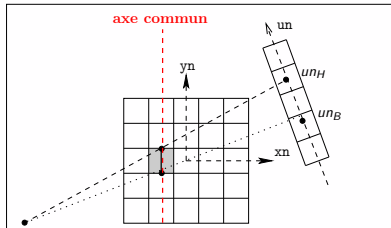
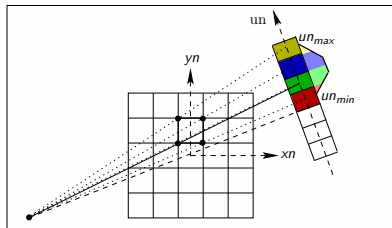
$$\mathcal{R}(\mathbf{g}) = \mathbf{H}_{\mathcal{R}}^t \mathbf{g}$$

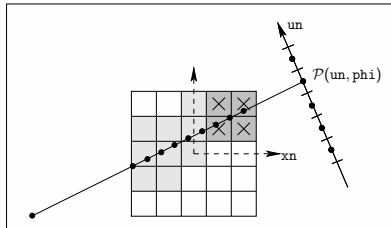
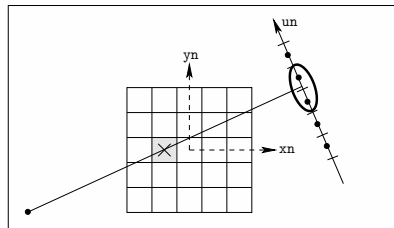
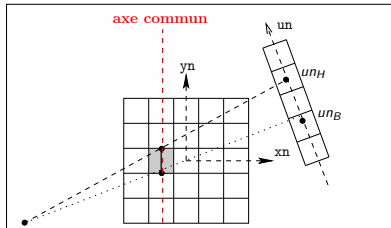
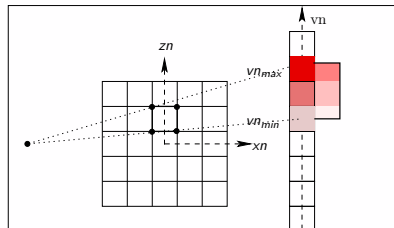
La paire $\mathcal{P}_{Regular}/\mathcal{R}_{VDL}$ est non duale

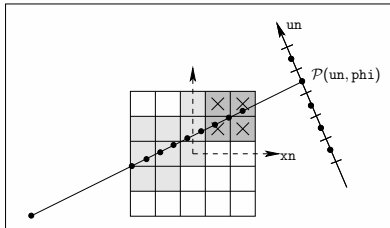
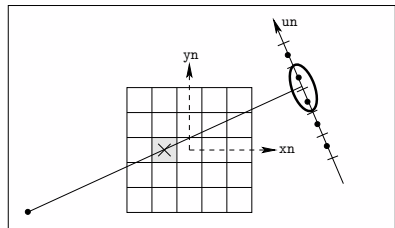
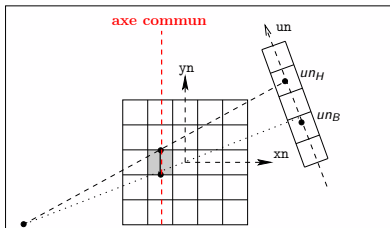
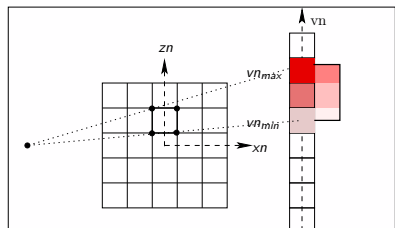
\mathcal{P}/\mathcal{R} est une paire duale $\equiv \forall \mathbf{f}, \forall \mathbf{g}, \langle \mathbf{g} \cdot \mathcal{P}(\mathbf{f}) \rangle = \langle \mathcal{R}(\mathbf{g}) \cdot \mathbf{f} \rangle$

Modèle *ray-driven* $\mathcal{P}_{Regular}$ Modèle *Voxel-Driven* \mathcal{R}_{VDL} Modèle *Distance-Driven* \mathcal{P}_{DD} 

Modèle *ray-driven* $\mathcal{P}_{Regular}$ Modèle *Voxel-Driven* \mathcal{R}_{VDL} Modèle *Distance-Driven* \mathcal{R}_{DD} 

Modèle *ray-driven* $\mathcal{P}_{Regular}$ Modèle *Voxel-Driven* \mathcal{R}_{VDL} Modèle *Distance-Driven* \mathcal{R}_{DD} Modèle *Separable Footprint (transverse)*

Modèle *ray-driven* $\mathcal{P}_{Regular}$ Modèle *Voxel-Driven* \mathcal{R}_{VDL} Modèle *Distance-Driven* \mathcal{R}_{DD} Modèle *Separable Footprint (axial)*

Modèle *ray-driven* $\mathcal{P}_{Regular}$ Modèle *Voxel-Driven* \mathcal{R}_{VDL} Modèle *Distance-Driven* \mathcal{R}_{DD} Modèle *Separable Footprint (axial)*

$\implies \mathcal{P}_{DD}/\mathcal{R}_{DD}$ et $\mathcal{P}_{SF}/\mathcal{R}_{SF}$ paires duales

Contributions (1/2)

Accélération sur GPU

- Mise en évidence des limitations dûes aux paires non duales
- Parallélisation originale de la paire duale $\mathcal{P}_{SF}/\mathcal{R}_{SF}$ [C_{2018a}, C_{2019a}]
- Comparaison de performances

	TomoGPI (s)	Astra (s)	RTK (s)
$\mathcal{P}_{Regular}$	5.34	6.74 ($\times 1.3$)	41.6 ($\times 7.8$)
\mathcal{R}_{VDL}	2.60	5.49 ($\times 2.1$)	5.63 ($\times 2.2$)

GPU_{volta-Titan}; jeu de données [1024 × 1024²; 1024³]

Accélération sur FPGA

- Rétroprojecteur \mathcal{R}_{VDL} parallélisé sur FPGA avec les outils HLS [R_{2018a}]

Contributions (2/2)

Logiciels

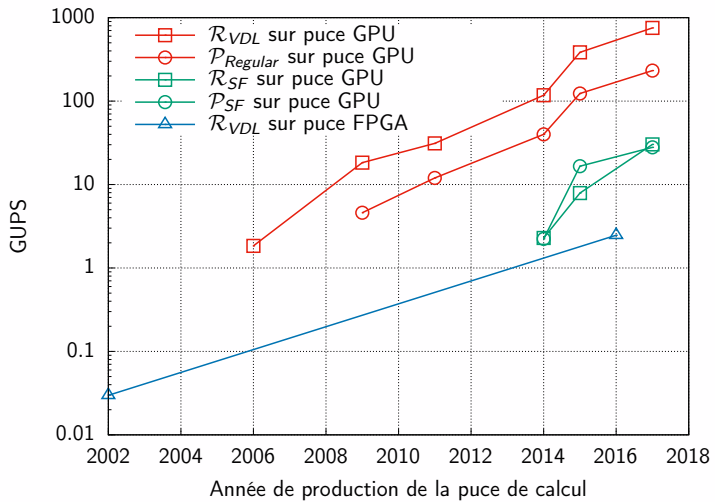
- TomoGPI : fruit des travaux du GPI depuis 10 ans
- TomoBayes : co-propriété du L2S et de SAFRAN
- Volonté de rendre les codes ouverts

*Laptop démonstrateur
avec boîtiers externes
FPGA et GPU*



GPU versus FPGA

GUPS : Giga mises à jour de voxels (\mathcal{R}) ou de rayons (\mathcal{P}) par seconde

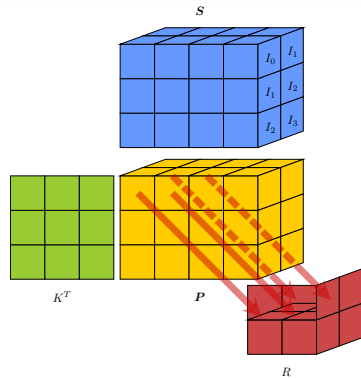


Accélération de la convolution 2D sur GPU

Le GPU, une boîte à outils d'accélération [M. Seznec]

- Calcul et stockage en demi-flottant pour la déconvolution [C_{2018b}]
- *tensors cores* pour noyaux de taille "moyenne" [C_{2020d}]

$$\mathbf{D} = \begin{pmatrix} \mathbf{A}_{0,0} & \mathbf{A}_{0,1} & \mathbf{A}_{0,2} & \mathbf{A}_{0,3} \\ \mathbf{A}_{1,0} & \mathbf{A}_{1,1} & \mathbf{A}_{1,2} & \mathbf{A}_{1,3} \\ \mathbf{A}_{2,0} & \mathbf{A}_{2,1} & \mathbf{A}_{2,2} & \mathbf{A}_{2,3} \\ \mathbf{A}_{3,0} & \mathbf{A}_{3,1} & \mathbf{A}_{3,2} & \mathbf{A}_{3,3} \end{pmatrix} \begin{pmatrix} \mathbf{B}_{0,0} & \mathbf{B}_{0,1} & \mathbf{B}_{0,2} & \mathbf{B}_{0,3} \\ \mathbf{B}_{1,0} & \mathbf{B}_{1,1} & \mathbf{B}_{1,2} & \mathbf{B}_{1,3} \\ \mathbf{B}_{2,0} & \mathbf{B}_{2,1} & \mathbf{B}_{2,2} & \mathbf{B}_{2,3} \\ \mathbf{B}_{3,0} & \mathbf{B}_{3,1} & \mathbf{B}_{3,2} & \mathbf{B}_{3,3} \end{pmatrix} + \begin{pmatrix} \mathbf{C}_{0,0} & \mathbf{C}_{0,1} & \mathbf{C}_{0,2} & \mathbf{C}_{0,3} \\ \mathbf{C}_{1,0} & \mathbf{C}_{1,1} & \mathbf{C}_{1,2} & \mathbf{C}_{1,3} \\ \mathbf{C}_{2,0} & \mathbf{C}_{2,1} & \mathbf{C}_{2,2} & \mathbf{C}_{2,3} \\ \mathbf{C}_{3,0} & \mathbf{C}_{3,1} & \mathbf{C}_{3,2} & \mathbf{C}_{3,3} \end{pmatrix}$$



Algorithme *im2tensor*

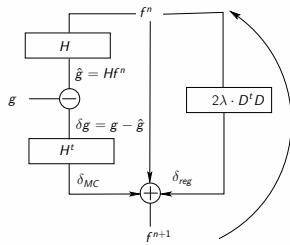
1 Adéquation Algorithme Architecture (A^3)

2 Calcul intensif sur GPU/FPGA

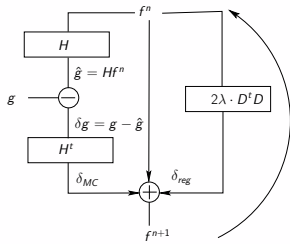
3 Calcul distribué sur serveur multiGPU

4 Dark-era project on radioastronomy

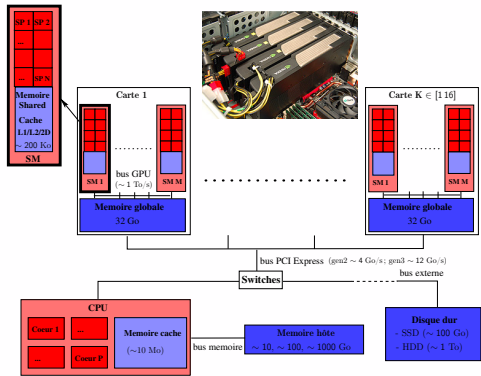
Boucle itérative



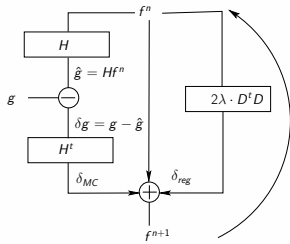
Boucle itérative



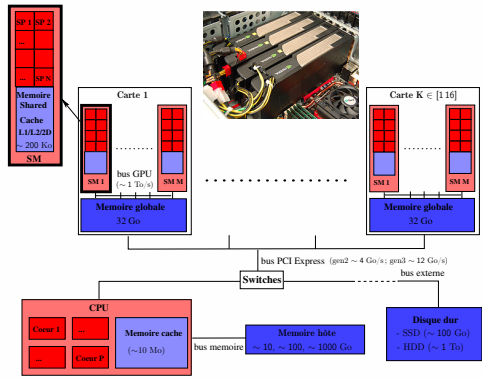
Le bus PCIe potentiel goulot d'étranglement



Boucle itérative



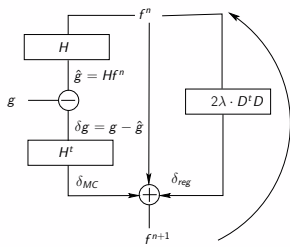
Le bus PCIe potentiel goulot d'étranglement



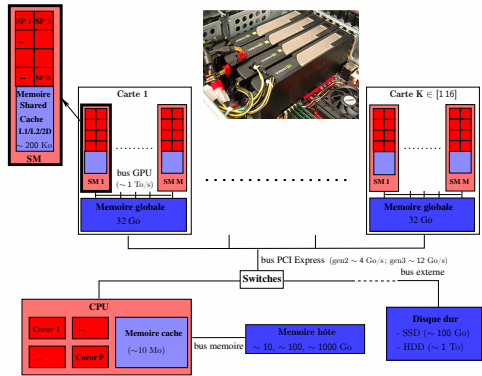
Stratégies en grande dimension

#1 Recouvrement des temps de transfert mémoire (*streams*)

Boucle itérative



Le bus PCIe potentiel goulot d'étranglement



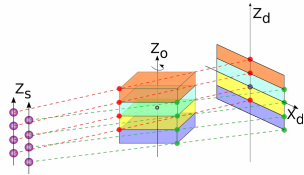
Stratégies en grande dimension

#1 Recouvrement des temps de transfert mémoire (*streams*)

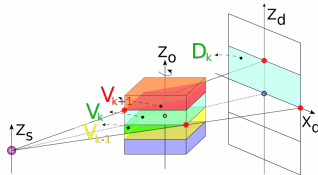
#2 Décentralisation des données avec échange de données entre GPUs voisins

Distribution de données en tomographie [C_{2020c}]

Difficulté en géométrie conique



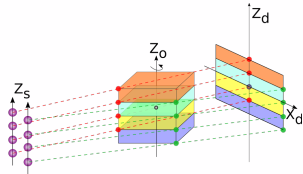
(géométrie parallèle)



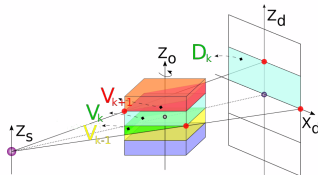
(géométrie conique)

Distribution de données en tomographie [C_{2020c}]

Difficulté en géométrie conique



(géométrie parallèle)

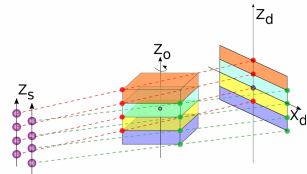


(géométrie conique)

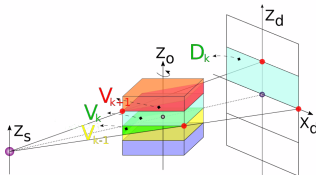
⇒ transfert p2p avant chaque appel à \mathcal{P}/\mathcal{R}

Distribution de données en tomographie [C_{2020c}]

Difficulté en géométrie conique



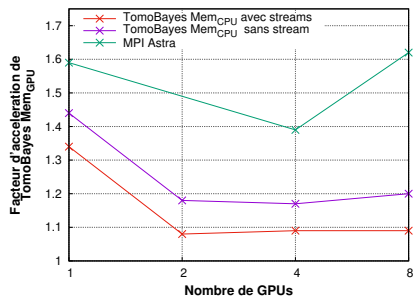
(géométrie parallèle)



(géométrie conique)

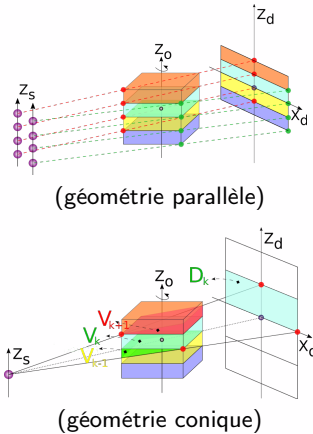
⇒ transfert p2p avant chaque appel à \mathcal{P}/\mathcal{R}

Accélération de HtH sur S_{zay} [GPU V100]



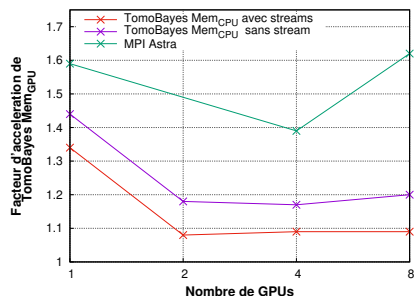
Distribution de données en tomographie [C_{2020c}]

Difficulté en géométrie conique



⇒ transfert p2p avant chaque appel à \mathcal{P}/\mathcal{R}

Accélération de HtH sur S_{zay} [GPU V100]



Descente de gradient sur S_{zay} [GPU V100]

TomoBayes		MPI Astra
Mem _{GPU}	Mem _{CPU}	
2.55 mn	17.07 mn ×6.70	3.84 ×1.51

Distribution des données en radioastronomie

Déconvolution

- Données : Images *dirty* $\tilde{\mathbf{I}}_\ell$ du ciel à plusieurs longueurs d'onde ℓ
- Critère : attache aux données + **reg. spatiale** + **reg. spectrale**

$$J(\mathbf{f}) = \sum_{\ell=1}^L \|\tilde{\mathbf{I}}_\ell - \mathbf{H}_\ell \mathbf{I}_\ell\|_2^2 + \mu_I \sum_{\ell=1}^L \|\mathbf{D}_I \mathbf{I}_\ell\|_2^2 + \mu_S \sum_{i,j=1,1}^{N^2} \|\mathbf{D}_S \mathbf{S}_{i,j}\|_2^2,$$

- Descente : $\mathbf{f}^{(m+1)} = \mathbf{f}^{(m)} - \alpha \nabla J_I(\mathbf{f}^{(m)}) - \alpha \nabla J_S(\mathbf{f}^{(m)})$

Distribution des données en radioastronomie

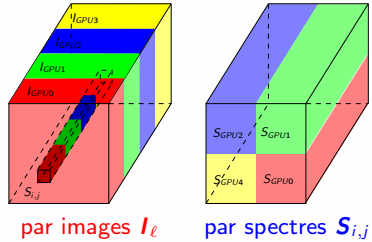
Déconvolution

- Données : Images *dirty* \tilde{I}_ℓ du ciel à plusieurs longueurs d'onde ℓ
- Critère : attache aux données + **reg. spatiale** + **reg. spectrale**

$$J(\mathbf{f}) = \sum_{\ell=1}^L \|\tilde{I}_\ell - \mathbf{H}_\ell I_\ell\|_2^2 + \mu_I \sum_{\ell=1}^L \|\mathbf{D}_I I_\ell\|_2^2 + \mu_S \sum_{i,j=1,1}^{N^2} \|\mathbf{D}_S S_{i,j}\|_2^2,$$

- Descente : $\mathbf{f}^{(m+1)} = \mathbf{f}^{(m)} - \alpha \nabla J_I(\mathbf{f}^{(m)}) - \alpha \nabla J_S(\mathbf{f}^{(m)})$

Distribution des données



Distribution des données en radioastronomie

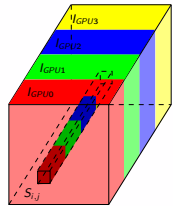
Déconvolution

- Données : Images *dirty* \tilde{I}_ℓ du ciel à plusieurs longueurs d'onde ℓ
- Critère : attache aux données + **reg. spatiale** + **reg. spectrale**

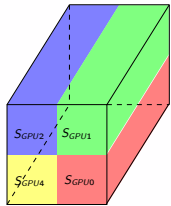
$$J(\mathbf{f}) = \sum_{\ell=1}^L \|\tilde{I}_\ell - \mathbf{H}_\ell I_\ell\|_2^2 + \mu_I \sum_{\ell=1}^L \|\mathbf{D}_I I_\ell\|_2^2 + \mu_S \sum_{i,j=1,1}^{N^2} \|\mathbf{D}_S S_{i,j}\|_2^2,$$

- Descente : $\mathbf{f}^{(m+1)} = \mathbf{f}^{(m)} - \alpha \nabla J_I(\mathbf{f}^{(m)}) - \alpha \nabla J_S(\mathbf{f}^{(m)})$

Distribution des données



par images I_ℓ



par spectres $S_{i,j}$

Calcul de $\nabla J_S(\mathbf{f}^{(m)})$

- N^2 convolutions spectrales 1D

Distribution des données en radioastronomie

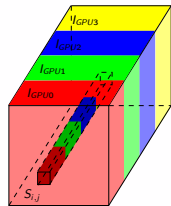
Déconvolution

- Données : Images *dirty* \tilde{I}_ℓ du ciel à plusieurs longueurs d'onde ℓ
- Critère : attache aux données + **reg. spatiale** + **reg. spectrale**

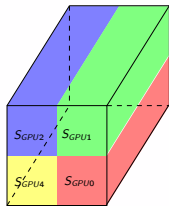
$$J(\mathbf{f}) = \sum_{\ell=1}^L \|\tilde{I}_\ell - \mathbf{H}_\ell I_\ell\|_2^2 + \mu_I \sum_{\ell=1}^L \|\mathbf{D}_I I_\ell\|_2^2 + \mu_S \sum_{i,j=1,1}^{N^2} \|\mathbf{D}_S S_{i,j}\|_2^2,$$

- Descente : $\mathbf{f}^{(m+1)} = \mathbf{f}^{(m)} - \alpha \nabla J_I(\mathbf{f}^{(m)}) - \alpha \nabla J_S(\mathbf{f}^{(m)})$

Distribution des données



par images I_ℓ



par spectres $S_{i,j}$

Calcul de $\nabla J_S(\mathbf{f}^{(m)})$

- N^2 convolutions spectrales 1D
 - Stratégie de transferts mémoire
- #1 redistribution massive avant et après ($CPU \leftrightarrow GPU$ ou *interGPU*)

Distribution des données en radioastronomie

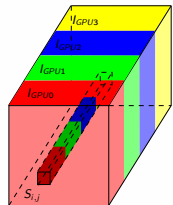
Déconvolution

- Données : Images *dirty* \tilde{I}_ℓ du ciel à plusieurs longueurs d'onde ℓ
- Critère : attache aux données + **reg. spatiale** + **reg. spectrale**

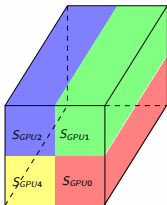
$$J(\mathbf{f}) = \sum_{\ell=1}^L \|\tilde{I}_\ell - \mathbf{H}_\ell I_\ell\|_2^2 + \mu_I \sum_{\ell=1}^L \|\mathbf{D}_I I_\ell\|_2^2 + \mu_S \sum_{i,j=1,1}^{N^2} \|\mathbf{D}_S S_{i,j}\|_2^2,$$

- Descente : $\mathbf{f}^{(m+1)} = \mathbf{f}^{(m)} - \alpha \nabla J_I(\mathbf{f}^{(m)}) - \alpha \nabla J_S(\mathbf{f}^{(m)})$

Distribution des données



par images I_ℓ

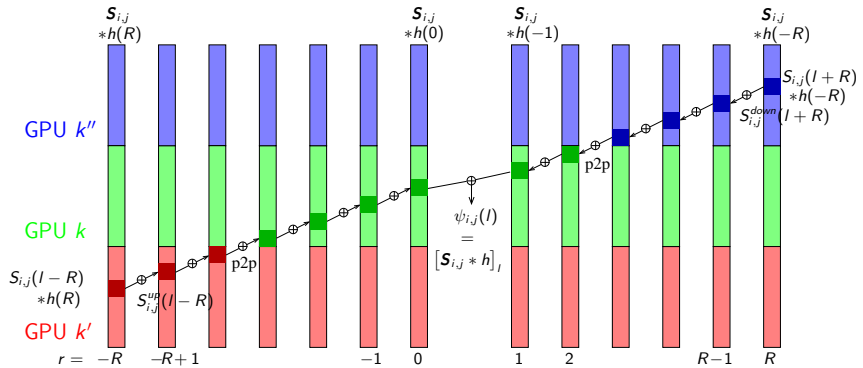


par spectres $S_{i,j}$

Calcul de $\nabla J_S(\mathbf{f}^{(m)})$

- N^2 convolutions spectrales 1D
 - Stratégie de transferts mémoire
- #1 redistribution massive avant et après ($CPU \leftrightarrow GPU$ ou $interGPU$)
- #2 échanges interGPU de résultats intermédiaires

Convolution spectrale distribuée (Olivier Pérard)



Premiers résultats d'accélération

Xeon (28 coeurs)	S _{zay} [1 GPU V100]	S _{zay} [8 GPU V100]
119 s <i>Matlab multithreads</i>	11.0 s $(\times 10.8)$	1.58 s $(\times 7.0)$

convolution d'un hypercube de taille 1024^3 pour un noyau de taille 512

SKA, an inverse problem at large scale

Dark-era project - Dataflow Algorithm aRchitecture co-design of SKA
pipeline for Exascale Radio Astronomy

¹IETR (INSA), ²IRISA (ENS), ³L2S (CS), ⁴Lagrange (UCA), ⁵Nançay
(Obs Paris)

Daniel Charlet^{**5} (IJCLab), Karol Desnos¹, Mickael Dardaillon³, André Ferrari⁴, Chiara
Ferrari⁴, Nicolas Gac³, Jean-François Nezan¹, François Orieux³, Simon Prunet⁴, Martin
Quinson², Frédéric Suter^{**2}(IN2P3 Computing Center), Cyril Tasse^{**5} (GEPI), Cédric
Viou⁵



ANR-20-CE46-0001-01

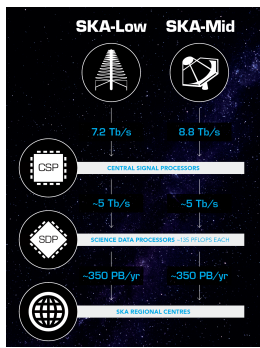




Largest radio telescope array ever constructed

- 200+ dishes in South Africa
- 130 000+ antennas in Australia

An imaging pipeline made of three HPC stages



CSP Antenna voltages correlated to produce **visibilities**

SDP **hypercubes** (*sky images at different frequencies*) reconstructed from visibilities

SRC Post-treatment by regional supercomputers

SDP supercomputer

- Huge computing requirements to process a **realtime streaming data**
- **Limited energy budget, nr. 1 MW for each SDP**
- **Huge algorithm model gap** between programming langues used by astronomers and HPC developpers, *Python vs MPI/CUDA/...*

SDP supercomputer

- Huge computing requirements to process a **realtime streaming data**
- **Limited energy budget, nr. 1 MW for each SDP**
- **Huge algorithm model gap** between programming langues used by astronomers and HPC developpers, *Python vs MPI/CUDA/...*

A software/hardware co-design challenge

- New complex scientific **dataflow algorithms**
- Not-yet-existing **large scale heterogeneous** computing platform
⇒ Call for rapid prototyping tools providing **early time and energy performance assessments**

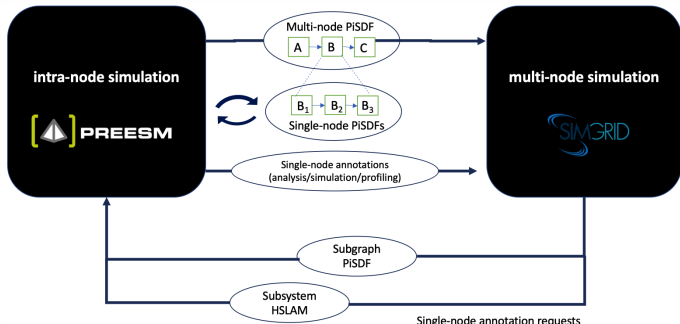
Dark-era goals

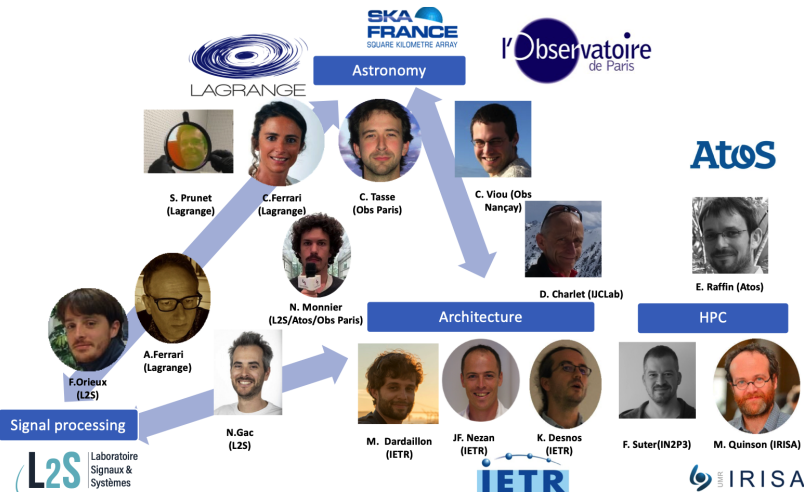
- ① Building **SimSDP**, a **rapid prototyping tool** providing exascale simulations from dataflow algorithm descriptions.
- ② Exploring **low power accelerators** like FPGA or Kalray MPPA as alternatives to mainstream GPU architecture.
- ③ Contribute to SKA computing challenge

Dark-era goals

- ① Building **SimSDP**, a rapid prototyping tool providing exascale simulations from dataflow algorithm descriptions.
- ② Exploring **low power accelerators** like FPGA or Kalray MPPA as alternatives to mainstream GPU architecture.
- ③ Contribute to SKA computing challenge

SimSDP





T1: Radioastronomy requirementsL2S/all

- programming models and libraries used by astronomers
- SKA datasets, algorithm and architecture use cases

T2: SimSDP developmentIETR/IRISA

- New clustering and architecture model extensions in **PREESM**
- Dataflow and complex HPC node extensions in **SimGrid**

T3: Profiling on low power acceleratorsL2S/IETR/Nançay

- **SDP prototypes** on FPGA/Kalray
- **SDP profiling** on GPU/MPPA/FPGA

T4: Design Space ExplorationLagrange/all

- Pipeline and architecture models
- **Architecture Exploration and Algorithm Configuration**

Thank you for your attention !

<https://dark-era.pages.centralesupelec.fr>

contact: nicolas.gac@l2s.centralesupelec.fr

Publications mentionnées dans la présentation

Liste complète : <https://l2s.centralesupelec.fr/u/gac-nicolas/publications/>

- [R_{2019a}] A. Marchal, M.A. Miville-Deschénes, F. Orieux, N. Gac, C. Soussen, M.J. Lesot, A. Revault d'Allonne, Q. Salomé, ROHSA : Regularized Optimization for Hyper-Spectral Analysis, *Astronomy and Astrophysics - AA*, 2019
- [R_{2019b}] C. Chapdelaine, A. Mohammad-Djafari, N. Gac, E. Parra, Error-Splitting Forward Model for Iterative Reconstruction in X-ray Computed Tomography and application with Gauss-Markov-Potts prior, *IEEE Transactions on Computational Imaging*, 2019
- [R_{2018a}] M. Martelli, N. Gac, A. Merigot, C. Enderli, 3D Tomography back-projection parallelization on Intel FPGAs using OpenCL, *Journal of Signal Processing Systems*, Springer, 2018
- [R_{2018b}] L. Wang, A. Mohammad-Djafari, N. Gac, M. Dumitru, 3D X-ray Computed Tomography with a Hierarchical Prior model for Sparsity in Haar Transform domain, *Entropy, Special Issue Probabilistic Methods for Inverse Problems*, MDPI, 2018
- [R_{2017a}] L. Wang, A. Mohammad-Djafari, N. Gac, X-ray Computed Tomography using a sparsity enforcing prior model based on Haar transformation in a Bayesian framework, *Special Issue of Fundamenta Informaticae*, IOS Press, 2017
- [R_{2017b}] C. Chapdelaine, A. Mohammad-Djafari, N. Gac, E. Parra, A 3D Bayesian Computed Tomography Reconstruction Algorithm with Gauss-Markov-Potts Prior Model and its Application on Real Data, *Special Issue of Fundamenta Informaticae*, IOS Press, 2017
- [R_{2014a}] N. Chu, J. Picheral, A. Mohammad-Djafari, N. Gac, A robust super-resolution approach with sparsity constraint in acoustic imaging, *Applied Acoustics*, Elsevier, 2014, 76, pp.197-208.
- [R_{2014b}] F. Schmidt, I. Shatalina, M. Kowalski, N. Gac, B. Saggin, et al., Toward a numerical deshaker for PFS, *Planetary and Space Science*, Elsevier, 2014, 91, pp.45 - 51.
- [R₂₀₁₃] T. Boulay, N. Gac, A. Mohammad-Djafari, J. Lagoutte, Algorithmes de reconnaissance NCTR et parallélisation sur GPU, *Traitement du Signal*, Lavoisier, 2013, 6, pp.309-342.
- [R₂₀₁₂] M.L. Gallin-Martel., Y. Grondin, N. Gac et al, Experimental results and first ^{22}Na source image reconstruction by two prototype modules in coincidence of a liquid Xenon Positron Emission Tomograph for small animal imaging, *Nuclear Instruments and Methods in Physics Research*, Elsevier, 2012, 682, pp.66-74
- [R₂₀₀₉] N. Gac, S.Mancini, M. Desvignes et D. Houzet, High Speed 3D Tomography on CPU, GPU and FPGA, *EURASIP Journal on Embedded systems*, SpringerOpen, 2009

Publications mentionnées dans la présentation

Liste complète : <https://l2s.centralesupelec.fr/u/gac-nicolas/publications/>

- [C_{2020a}] D. Diakite, M. Martelli, N. Gac, An OpenCL pipeline implementation on Intel FPGA for 3D backprojection, *International Conference on Image Formation in X-Ray Computed Tomography, 2020, Regensburg*
- [C_{2020b}] M. Seznec, N. Gac, F. Orieux, A. Sashala Naik, An efficiency-driven approach for real-time optical flow processing on parallel hardware, *IEEE International Conference on Image Processing (ICIP), 2020, Abu Dhabi*
- [C_{2020c}] M. Chghaf, N. Gac, Data distribution on a multi-GPU node for TomoBayes CT reconstruction, *IEEE Conference on Embedded and Real-Time Computing Systems and Applications (RTSCA), 2020, South Korea*
- [C_{2020d}] M. Seznec, N. Gac, F. Orieux, A. Sashala Naik, A new convolutions algorithm to leverage tensor cores, *GPU Technology Conference (GTC), May 2020, Silicon Valley, United States*
- [C_{2019a}] N. Georghiou, C. Chapdelaine, N. Gac, A. Mohammad-Djafari, E. Parra, Multi-streaming and multi-GPU optimization for a matched pair of Projector and Backprojector , *2019 International Conference on Fully Three-Dimensional Image Reconstruction in Radiology and Nuclear Medicine, Jun 2019, Philadelphia, United States*
- [C_{2018a}] C. Chapdelaine, N. Gac, A. Mohammad-Djafari, E. Parra, New GPU implementation of Separable Footprint (SF) Projector and Backprojector : first results , *International Meeting on Image Formation in X-Ray Computed Tomography, Salt Lake City, US, 2018*
- [C_{2018b}] M. Seznec, N. Gac, A. Ferrari, F. Orieux, A Study on Convolution Using Half-Precision Floating-Point Numbers on GPU for Radioastronomy Deconvolution , *IEEE SIPS, Cape Town, South Africa, October 2018*
- [C_{2017d}] M. Dumitru, N. Gac, L. Wang, A. Mohammad-Djafari, Unsupervised sparsity enforcing iterative algorithms for 3D image reconstruction in X-ray Computed Tomography, *Fully3D, 2017*
- [C_{2014b}] N. Chu, N. Gac, J. Picheral, A. Mohammad-Djafari, 2D Convolution model using (in)variant kernels for fast acoustic imaging, *BEBEC 2014, Berlin Beamforming Conference, 15 p., 2014*
- [C_{2014d}] L. Chen, T. Rodet, N. Gac, A simple and efficient super-short-scan algorithm of fan-beam reconstruction for multiple circular trajectories : solution towards the truncated data, *CT Meeting, Salt Lake City, pp. 212-215, 2014*
- [C_{2013d}] L. Chen, T. Rodet, N. Gac, A penalized weighted least-squares image reconstruction based on scatter correction methods for X-ray CT, *2013 IEEE NSS and MIC, Seoul, 2013*
- [C_{2011a}] N. Gac, A. Vabre, A. Mohammad-Djafari, Multi GPU parallelization of 3D bayesian CT algorithm and its application on real foam reconstruction with incomplete data set, *FVR, Poitiers, 2011*

Merci de votre attention